

文章编号: 1006-4729(2012)04-0329-07

基于 SVPWM 的永磁同步电机矢量控制系统的建模与仿真

程启明, 王映斐, 胡晓青, 白园飞, 吴凯

(上海电力学院 电力与自动化工程学院, 上海 200090)

摘要: 在分析永磁同步电机(PMSM)数学模型和矢量控制(VC)原理的基础上,阐述了电压空间矢量脉宽调制(SVPWM)的原理及算法,并在Matlab/Simulink环境下构建了基于SVPWM的PMSM磁场定向VC系统仿真模型。仿真结果表明,基于SVPWM的控制系统具有更好的控制性能,说明了该仿真模型的正确性和有效性。

关键词: 空间矢量脉宽调制; 永磁同步电机; 矢量控制; 正弦脉宽调制法

中图分类号: TP273; TM351 文献标志码: A

The Modeling and Simulation of Vector Control System of PMSM Based on SVPWM

CHENG Qi-ming, WANG Ying-fei, HU Xiao-qing, BAI Yuan-fei, WU Kai
(School of Electric Power and Automation Engineering,
Shanghai University of Electric Power, Shanghai 200090, China)

Abstract: On the basis of analyzing the PMSM model and the VC principle, the principle and algorithm of voltage SVPWM is introduced, and the field-oriented VC system simulation model based on SVPWM for PMSM is constructed on the Matlab/Simulink environment. The simulation results show that the control system based on SVPWM has better performance, proving the validity and effectiveness of the simulation model based on SVPWM.

Key words: space vector pulse width modulation; permanent magnet synchronous motor; vector control; sinusoidal pulse width modulation

伺服系统是自动控制、电力电子、电机、微电子等多个学科相互发展融合的产物。交流永磁同步电机(Permanent Magnet Synchronous Motor, PMSM)具有结构简单、气隙磁密高、功率密度大、转动惯量小、响应速度快,以及效率和可靠性高等

特点,它已经逐步取代直流电机而广泛用于高性能的伺服系统中^[1]。

20世纪70年代初,德国BLASCHKE F等人提出了矢量控制(Vector Control, VC)的方法。由于VC具有控制精度高、低频特性优良、转矩响应

收稿日期: 2011-07-04

通讯作者简介: 程启明(1965-)男 教授 江苏盐城人。主要研究方向为清洁能源发电及其并网控制,发电过程控制,先进控制及其应用等。E-mail: chengqiming@sina.com.

基金项目: 上海市科委地方高校能力建设项目(11510500800);上海市教育委员会重点学科建设项目(J51301)。

快等良好的静、动态控制性能,得到了广泛应用。目前,PMSM的VC控制已被证明是一种高性能的控制策略^[2,3],其脉宽调制技术以正弦脉宽调制(SPWM)的应用最为广泛,但SPWM技术不能充分利用馈电给逆变器的直流电压,而且会产生高次谐波分量,引起电机发热、转矩脉动,甚至造成系统振荡。为了最终在空间产生圆形旋转磁场,进而产生恒定的电磁转矩,出现了电压空间矢量脉宽调制(Space Vector PWM,SVPWM)技术^[4-9],它具有物理概念清晰、算法简单、高次谐波少、开关损耗小、电压利用率高、数字实现容易等优点,从而降低了PMSM的转矩脉动,提高了PMSM的交流调速性能,具有良好的应用前景。

1 PMSM的数学模型及VC控制

交流电机的VC控制思想^[1,2]是利用两次坐标变换,将电机的复杂数学模型从三相定子静止坐标系(a-b-c轴系)变换到两相定子静止坐标系(α-β轴系)(简称3s/2s变换或Clarke变换),再变换到按转子磁场定向的同步旋转坐标系(d-q轴系)(简称2s/2r变换或Park变换),从而简化电机的数学模型,实现对定子电流励磁分量与转矩分量之间的解耦,从而达到分别控制电动机的磁链和电流的目的。

1.1 坐标变换

VC控制需要借助坐标变换,使各物理量从静止坐标系转换到同步旋转坐标系。3s/2s变换和2s/2r变换分别为:

$$\begin{bmatrix} i_{\alpha} \\ i_{\beta} \end{bmatrix} = \sqrt{\frac{2}{3}} \begin{bmatrix} 1 & -\frac{1}{2} & -\frac{1}{2} \\ 0 & \frac{\sqrt{3}}{2} & -\frac{\sqrt{3}}{2} \end{bmatrix} \begin{bmatrix} i_a \\ i_b \\ i_c \end{bmatrix} \quad (1)$$

$$\begin{bmatrix} i_d \\ i_q \end{bmatrix} = \begin{bmatrix} \cos\theta & \sin\theta \\ -\sin\theta & \cos\theta \end{bmatrix} \begin{bmatrix} i_{\alpha} \\ i_{\beta} \end{bmatrix} \quad (2)$$

式中: i_a i_b i_c —电机三相定子电流;

i_{α} i_{β} —α-β坐标系上的定子电流分量;

θ —转子位置与a相定子绕组的夹角。

由于在Matlab/Simulink的电力系统仿真模块SimpowerSystems中,电机的测量模块可直接检测到 i_d 和 i_q ,因此在建立仿真模型时,不需要再建立三相静止/两相静止(a-b-c/α-β)变换和两相静止/两相旋转(α-β/d-q)变换的仿真模型。

1.2 PMSM数学模型

在基于转子磁场定向的旋转坐标系下,PMSM的数学模型(包括定子磁链方程、定子电压方程、电磁转矩方程和机械运动方程)为^[3]:

$$\begin{cases} \Psi_{sd} = L_d i_{sd} + \Psi_f \\ \Psi_{sq} = L_q i_{sq} \end{cases} \quad (3)$$

$$\begin{cases} u_{sd} = R_s i_{sd} + p \Psi_{sd} - \omega_r \Psi_{sq} \\ u_{sq} = R_s i_{sq} + p \Psi_{sq} + \omega_r \Psi_{sd} \end{cases} \quad (4)$$

$$T_e = \frac{3}{2} n_p (\Psi_{sd} i_{sq} - \Psi_{sq} i_{sd}) = \frac{3}{2} n_p [\Psi_f i_{sq} + (L_d - L_q) i_{sq} i_{sd}] \quad (5)$$

$$T_e - T_m = J p \omega_r + B \omega_r \quad (6)$$

式中: Ψ_{sd} Ψ_{sq} —d轴和q轴定子磁链;

i_{sd} i_{sq} —d轴和q轴定子电流;

u_{sd} u_{sq} —d轴和q轴定子电压;

L_d L_q —定子绕组d轴和q轴等效电感;

R_s —定子电阻;

Ψ_f —转子永磁磁链;

p —微分算子 $p = d/dt$;

ω_r —转子角频率;

T_e T_m —电磁转矩和负载转矩;

n_p —电机极对数;

J —电机转动惯量;

B —摩擦及风阻力矩系数。

从式(5)可以看出,PMSM的电磁转矩 T_e 基本上取决于定子电流的d轴和q轴分量 i_{sd} 和 i_{sq} 。由于PMSM的转子磁链 Ψ_f 恒定不变,故采用转子磁链定向方式来控制PMSM。根据PMSM的不同需要,其电流矢量的控制也不同,可采用的控制方法有 $i_{sd} = 0$ 控制、功率因数 $\cos\theta = 1$ 控制、恒磁链控制、最大转矩/电流控制、弱磁控制、最大输出功率控制等。其中 $i_{sd} = 0$ 控制最简单实用。

$i_{sd} = 0$ 控制就是使定子电流矢量位于q轴,而无d轴分量($i_{sd} = 0$),即定子电流全部用来产生转矩,此时电磁转矩方程可简化为:

$$T_e = \frac{3}{2} n_p \Psi_f i_{sq} \quad (7)$$

这种控制方式最简单,只要能准确地检测出转子空间位置(d轴),并通过控制逆变器使三相定子的合成电流(磁动势)位于q轴上,就可以使电磁转矩 T_e 与定子电流 i_s 的幅值成正比,即控制 i_s 的幅值,就能很好地控制 T_e 。

1.3 PMSM 矢量控制原理

图 1 为采用 $i_d = 0$ 策略的转子磁场定向矢量控制系统原理^[10,11].

首先,根据检测到的电机转速 n 和输入的参考转速 n_{ref} ,通过速度 PI 控制器计算得到定子电流的参考输入值 i_{sdref} 和 i_{sqref} .

然后,通过相电流检测电路提取 i_a 和 i_b (若电机采用星形连接,可利用公式 $i_c = i_a + i_b$ 计算出 i_c) 并使用 Clark 变换和 Park 变换,将其转换到

d-q 旋转坐标系中.

最后,将 d-q 坐标系中的电流信号 i_{sd} 和 i_{sq} 分别与其参考给定值 i_{sdref} 和 i_{sqref} 相比较(其中 $i_{sdref} = 0$),通过两个电流 PI 控制器及 Park 逆变换,获得满足三电平逆变器 SVPWM 控制所需要的给定输入值 u_{saref} 和 $u_{sβref}$,用 SVPWM 产生的 PWM 脉冲控制信号来控制逆变器,从而实现由外环的转速环和内环的电流环构成的 PMSM 的双闭环 VC 控制系统(双环一般均采用 PI 控制器,其控制参数为比例系数 K_p 和积分系数 K_i).

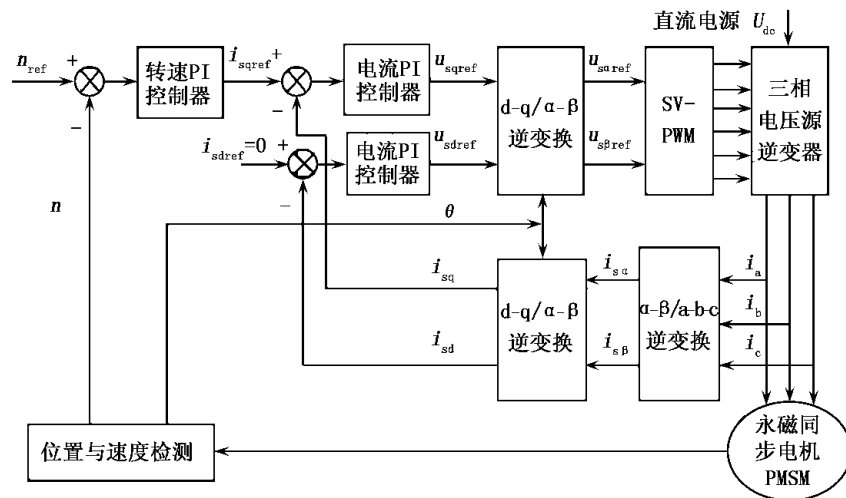


图 1 PMSM 的矢量控制原理

2 SVPWM 的基本原理及实现算法

SVPWM 不同于传统的 SPWM,它将交流电机与 PWM 逆变器看作一体,从电机角度出发,控制逆变器各桥臂开关信号以形成 PWM 波,使电机中产生的实际磁链矢量逼近理想磁链圆.

2.1 空间电压矢量

2.1.1 定义

三相正弦定子相电压 U_a , U_b , U_c 分别加在三相定子绕组上,它们的方向始终在各相的轴线上,而大小则随时间按正弦规律变化.

若定义 $\alpha-\beta-\theta$ 矢量复平面的实轴 α 与 a 轴重合,则在 $\alpha-\beta-\theta$ 坐标系下,电机定子三相电压 U_a , U_b , U_c 可以合成为一幅值 $|U_s|$ 以角速度 $\omega = 2\pi f$ 逆时针旋转的矢量 U_s ,被称为(定子)空间电压矢量.

$$U_s = \frac{2}{3}(U_a + aU_b + a^2U_c) \quad (8)$$

式中: a ——单位矢量 $a = e^{\frac{2j\pi}{3}}$.

2.1.2 空间电压矢量的计算

图 2 为一种典型的三相电压源逆变器结构.

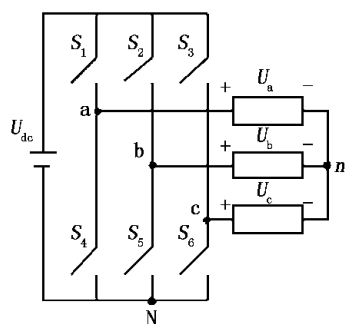


图 2 逆变器电路

对于 180° 导电型的逆变器,规定上桥臂功率开关和下桥臂功率开关导通和关断的状态互逆.设晶体管导通为 1,关断为 0,则 3 个桥臂可以形成 U_0 (000), U_1 (001), U_2 (010), U_3 (011), U_4

(100), U_5 , (101), U_6 , (110), U_7 , (111) 共 8 种开关状态,也就形成了 8 种基本电压矢量。其中,两个零矢量 U_0 (000) 和 U_7 (111) 使逆变器输出电压为零,在每一个采样周期内插入零矢量就可以达到调节输出电压的目的;其他 6 个矢量称为有效矢量。每一个空间矢量的幅值都为 $2U_{dc}/3$ (U_{dc} 为变频器中间直流电压值)。对于任意给定的空间电压矢量,都可以由这 8 个三相空间电压矢量合成。利用它们的线性组合,构成一组等幅而不等相位的空间电压矢量,从而形成尽可能逼近圆形的旋转磁场。

$$\begin{aligned} U_{ref} &= \frac{2}{3} [U_a(t) + aU_b(t) + a^2U_c(t)] = \\ &= \frac{2}{3}(U_{aN} + aU_{bN} + a^2U_{cN}) = \\ &= \frac{2}{3}U_{dc}(S_a + aS_b + a^2S_c) \end{aligned} \quad (9)$$

式中: S_a, S_b, S_c —开关状态,1 或 0。

2.2 SVPWM 的实现算法

SVPWM 脉冲波形的产生步骤为^[7 8]:

- (1) 判断空间矢量 U_{ref} 所在的扇区;
- (2) 计算晶体管的导通时间 T_1 和 T_2 , 以及公用值 X, Y, Z ;
- (3) 计算空间矢量的切换点 $T_{cm1}, T_{cm2}, T_{cm3}$;
- (4) 导通晶体管产生 PWM 波形。

2.2.1 U_{ref} 所在的扇区

根据 U_α 和 U_β 判断 U_{ref} 所处的扇区, 定义 U_1, U_2, U_3 为:

$$\begin{cases} U_1 = U_\beta \\ U_2 = \frac{1}{2}(\sqrt{3}U_\alpha - U_\beta) \\ U_3 = \frac{1}{2}(-\sqrt{3}U_\alpha - U_\beta) \end{cases} \quad (10)$$

然后计算 P 值, 并查表获得 U_{ref} 所在的扇区号 M ^[8 9], P 值与扇区 M 的对应关系见表 1。

表 1 P 值与扇区 M 的对应关系

P 值	扇区	P 值	扇区
3	1 [#]	4	4 [#]
1	2 [#]	6	5 [#]
5	3 [#]	2	6 [#]

$$P = 4\text{sign}(U_3) + 2\text{sign}(U_2) + \text{sign}(U_1) \quad (11)$$

2.2.2 相邻两开关电压矢量作用的时间

图 3 为 SVPWM 向量、扇区和波形。

假设 α 轴和 β 轴的电压分量 U_α 和 U_β 的合成矢量 U_{ref} 在第 3 扇区($0^\circ \sim 60^\circ$) 内, 则:

$$\begin{cases} U_{ref}T = U_4T_1 + U_6T_2 \\ U_{ref}T = |U_4|T_1 + |U_6|(\cos 60^\circ + j \sin 60^\circ)T_2 \end{cases} \quad (12)$$

式中: T —PWM 周期;

T_1, T_2 —空间矢量 U_4 和 U_6 的作用时间。

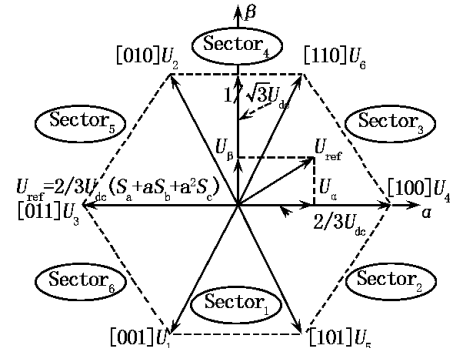


图 3 SVPWM 向量、扇区和波形

由于 U_{ref} 在第 3 扇区, 则将其分解为 U_α 和 U_β 空间矢量后, 由式(12) 可得:

$$\begin{cases} U_\beta T = T_2 |U_4| \sin 60^\circ \\ U_\alpha T = T_1 |U_4| + T_2 |U_6| \cos 60^\circ \end{cases} \quad (13)$$

在每个调制周期内, 为了使逆变器输出波形对称, 将每个基本矢量的作用时间都一分为二, 同时使两个零矢量 U_0 和 U_7 的作用时间相同, 则调制模式如图 4 所示。

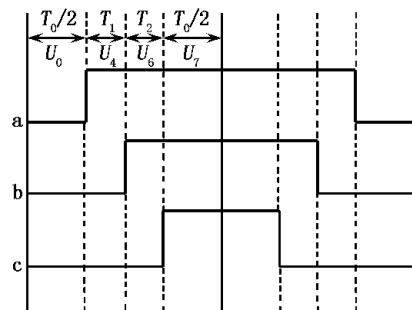


图 4 第 3 扇区的三相 PWM 调制模式

当参考电压矢量位于第 3 扇区时, 一个调制周期内电压矢量作用的次序为:

$$U_0 - U_4 - U_6 - U_7 - U_6 - U_4 - U_0$$

由于每个空间矢量的幅值为 $2U_{dc}/3$, 因此由式(13) 可以解得:

$$\begin{cases} T_1 = \frac{3U_\alpha T}{2U_{dc}} - \frac{\sqrt{3}U_\beta T}{2U_{dc}} \\ T_2 = \frac{\sqrt{3}U_\beta T}{U_{dc}} \end{cases} \quad (14)$$

同理,也可以得到其他扇区的晶体管作用时间。定义 X, Y, Z 为:

$$\begin{cases} X = \frac{\sqrt{3}U_\beta T}{U_{dc}} \\ Y = \frac{(\sqrt{3}U_\beta + 3U_\alpha)T}{2U_{dc}} \\ Z = \frac{(\sqrt{3}U_\beta - 3U_\alpha)T}{2U_{dc}} \end{cases} \quad (15)$$

此时,第 3 扇区空间矢量的作用时间可表示为: $T_1 = -Z, T_2 = X$ 。同理,当 U_{ref} 位于其他扇区时,相应的作用时间也可以用 X, Y, Z 表示,如表 2 所示。

表 2 各扇区空间矢量的作用时间

扇区	T_1	T_2	扇区	T_1	T_2
1 [#]	Z	Y	4 [#]	-X	Z
2 [#]	Y	-X	5 [#]	-X	-Y
3 [#]	-Z	X	6 [#]	-Y	-Z

2.2.3 三相相应的比较器切换点

定义 T_a, T_b, T_c 分别为:

$$\begin{cases} T_a = \frac{1}{4}(T - T_1 - T_2) \\ T_b = T_a + \frac{T_1}{2} \\ T_c = T_b + \frac{T_2}{2} \end{cases} \quad (16)$$

则根据空间矢量所处的扇区不同,晶体管的切换时间 $T_{cm1}, T_{cm2}, T_{cm3}$ 可分别用符号表示,具体方法如表 3 所示。

表 3 各晶体管的切换时间

扇区	T_{cm1}	T_{cm2}	T_{cm3}
1 [#]	T_b	T_a	T_c
2 [#]	T_a	T_c	T_b
3 [#]	T_a	T_b	T_c
4 [#]	T_c	T_b	T_a
5 [#]	T_c	T_a	T_b
6 [#]	T_b	T_c	T_a

2.3 SVPWM 的 Simulink 仿真实现

SVPWM 整体的 Simulink 仿真模块如图 5 所示。

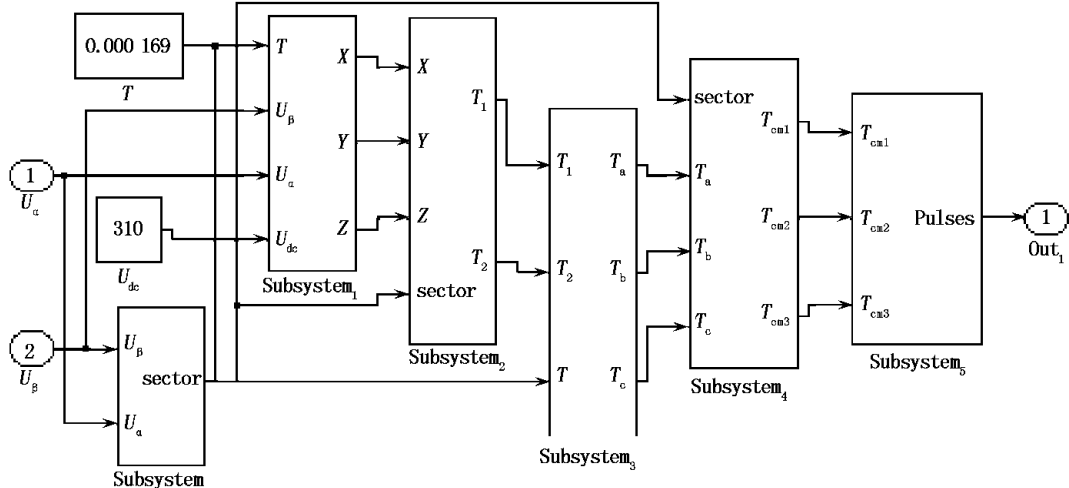


图 5 SVPWM 的 Simulink 仿真模块

它包括扇区判断、基本电压矢量作用时间、电压矢量切换、PWM 波生成等几个模块。其中,扇区判断模块 Subsystem 可由式(11)构建;基本电压矢量作用时间模块 Subsystem₁ 和 Subsystem₂ 可根据式(15)和表 2 搭建;电压矢量切换模块 Subsystem₃ 和 Subsystem₄ 可根据式(16)和表 3 搭

建; PWM 波生成模块 Subsystem₅ 可通过切换点 $T_{cm1}, T_{cm2}, T_{cm3}$ 与等腰三角形波形进行比较得到。

3 基于 SVPWM 的 PMSM 控制系统仿真

在 Matlab/Simulink 下利用 SimPower-Systems^[9],

建立基于 SVPWM 的 PMSM 矢量控制系统的仿真模型^[10-15], 如图 6 所示。为了体现 SVPWM 的优

点, 对 SVPWM 和 SPWM 两种脉冲调制方式进行仿真对比。

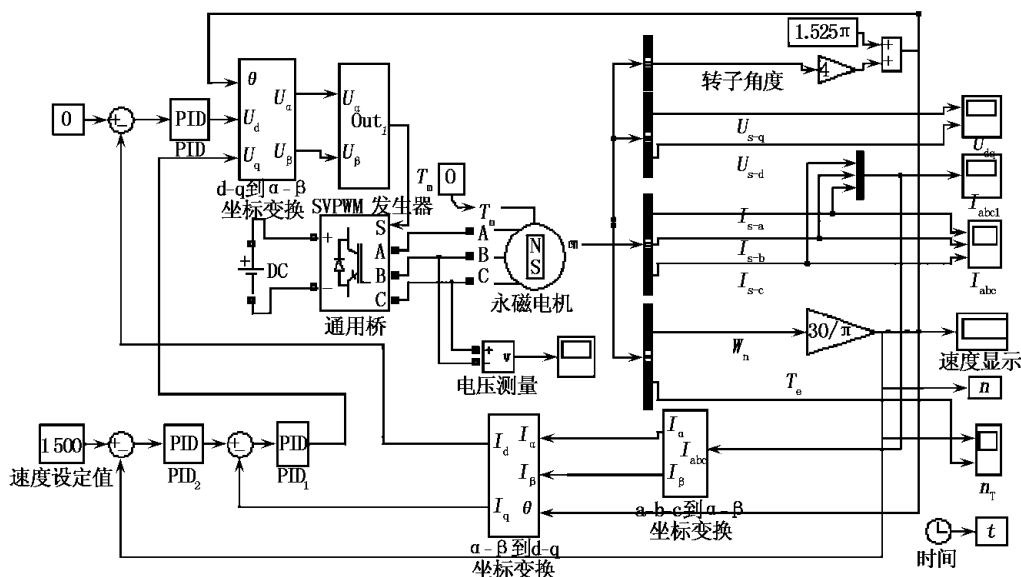


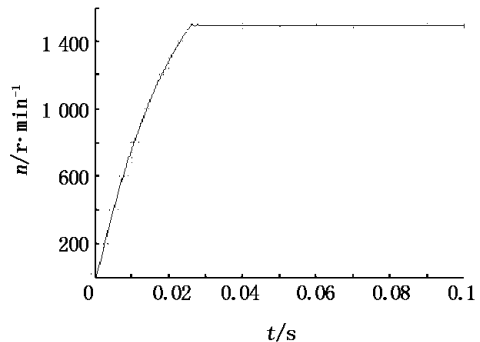
图 6 基于 SVPWM 的 PMSM 矢量控制系统的仿真模块

仿真中, PMSM 电机的相关参数为: $R_s = 15.8 \Omega$, $L_d = L_q = 8.5 \text{ mH}$, $\Psi_f = 0.175 \text{ Wb}$, $J = 1.0 \times 10^{-3} \text{ kg} \cdot \text{m}^2$, $B = 0$, $n_p = 2$, 额定电压 $U_e = 380 \text{ V}$ 。SVPWM 的参数为: PWM 周期 $T = 0.0001 \text{ s}$, $U_{dc} = 310 \text{ V}$ 。双闭环 PI 调节器参数为: 速度 PI 控制器参数 $K_{p1} = 7.0$, $K_{i1} = 1.0$; 交、直轴电流 PI 控制器参数为 $K_{p2} = 9.8$, $K_{i2} = 2.6$ 。仿真时, 采用 ode23 算法, 允许误差为 0.001, 步长可变, 仿真时间为 0.1 s。设定转速 $n_{ref} = 1500 \text{ r/min}$, 负载转矩 $T_m = 3 \text{ N} \cdot \text{m}$ 。

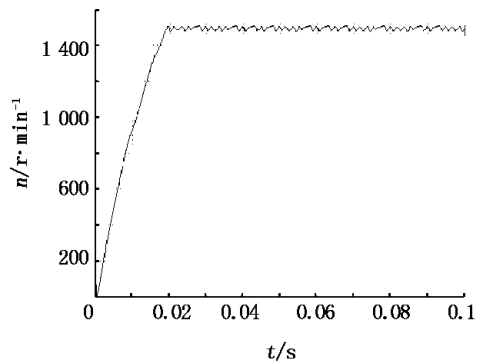
图 7 为设定转速 $n_{ref} = 1500 \text{ r/min}$, 且负载转矩 $T_m = 3 \text{ N} \cdot \text{m}$ 时的电机转速 n 曲线。

由图 7 可以看出, 与 SPWM 相比 SVPWM 稳态时间小, 响应速度快, 转速波形无明显波动。采用 SVPWM 算法时, 电机启动转矩稍大, 但转矩脉动远小于采用 SPWM 算法。图 8 为设定转速 $n_{ref} = 1500 \text{ r/min}$, 且负载转矩 T_m 在 0.05 s 由 3 N · m 突变为 1.5 N · m 的电机转速 n 曲线。

由图 8 可以看出, 负载突变对 SPWM 算法的影响较小, SVPWM 算法的速度脉动程度也较小, 由此可知 SVPWM 算法的稳定性好、精度高。

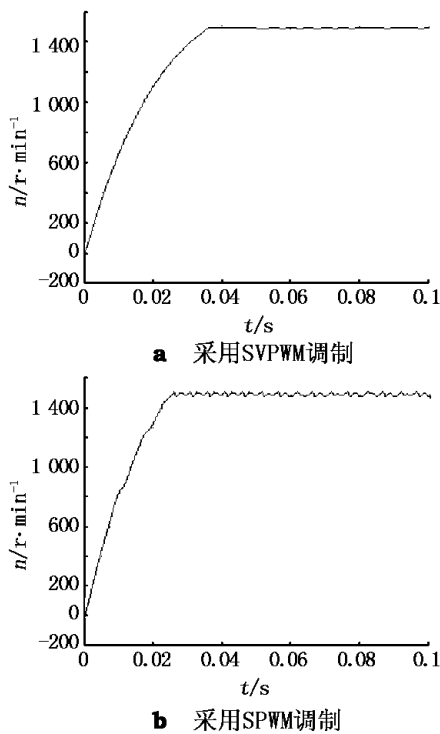


a 采用SVPWM调制



b 采用SPWM调制

图 7 负载转矩不变时的电机转速 n 曲线

图 8 负载转矩变化时的电机转速 n 曲线

因此, SVPWM 相比于 SPWM 具有转矩脉动小、转速波形好、系统响应快等优点。

4 结语

本文在分析 PMSM 的模型、VC 控制, 以及 SVPWM 技术的基础上, 在 Matlab /Simulink 环境下, 采用 VC 控制和 SVPWM 技术建立了 PMSM 速度、电流双闭环控制系统仿真模型, 重点分析了 SVPWM 的算法及 Simulink 的实现方法。仿真结果表明, SVPWM 技术优于 SPWM, 其波形符合理论分析, 系统运行快速平稳, 具有良好的静、动态特性。本文为分析和设计 SVPWM 技术和 PMSM 控制系统提供了有效的手段和工具, 也为实际电机控制系统的工作提供了新思路。

参考文献:

- [1] 徐岸非, 姜承林. 永磁同步电动机矢量控制系统仿真分析 [J]. 微电机, 2008, 41(9): 30-33.
- [2] 刘永飘, 钟彦儒, 徐艳平. 永磁交流伺服系统矢量控制仿真 [J]. 电气传动自动化, 2006, 28(1): 18-21.
- [3] 龚云飞, 富厉新. 基于 Matlab 的永磁同步电机矢量控制系统仿真研究 [J]. 微电机, 2007, 40(2): 33-36.
- [4] ZHOU K L, WANG D W. Relationship between space vector modulation and three phase carrier based PWM: a comprehensive analysis [J]. IEEE Transaction on Industrial Electronics, 2002, 49(1): 186-196.
- [5] 杨贵杰, 孙力. 空间矢量脉宽调制方法的研究 [J]. 中国电机工程学报, 2001, 21(5): 79-83.
- [6] 张春喜, 廖文建, 王佳子. 异步电机 SVPWM 矢量控制仿真分析 [J]. 电机与控制学报, 2008, 12(2): 160-163.
- [7] 田亚菲, 何继爱, 黄智武. 电压空间矢量脉宽调制 (SVPWM) 算法仿真实现及分析 [J]. 电力系统及其自动化学报, 2004, 16(4): 68-71.
- [8] 王建宽, 崔巍, 江建中. SVPWM 技术的理论分析及仿真 [J]. 微特电机, 2006(6): 15-20.
- [9] 洪乃刚. 电力电子和电力拖动控制系统的 MATLAB 仿真 [M]. 北京: 机械出版社, 2006: 21-39.
- [10] 李先祥, 肖红军, 黄道平. 三电平矢量控制的永磁同步伺服电动机调速系统 [J]. 电工技术学报, 2004, 19(4): 28-32.
- [11] KHANBADKONE Ashwin M, JOACHIM Holtz. Compensated synchronous PI current controller in over modulation range and six-step operation of space-vector-modulation-based vector-controlled drives [J]. IEEE Trans on Industrial Electronic, 2002, 49(3): 574-580.
- [12] 余明峰, 刘志刚, 沈茂盛. 基于三电平逆变器永磁同步电机矢量控制研究 [J]. 电气传动, 2005, 35(6): 7-13.
- [13] 何继爱, 王惠琴. 永磁同步电机空间矢量控制系统的仿真 [J]. 电力系统及其自动化学报, 2005, 17(6): 14-17.
- [14] 刘胜, 戚磊, 李冰. 永磁同步电机空间矢量控制方法设计实现 [J]. 控制工程, 2009, 16(2): 247-250.
- [15] 赵辉, 鲁超, 冯金钊. 基于 SVPWM 的永磁同步电机控制策略研究 [J]. 电测与仪表, 2009, 46(7): 13-17.

(编辑 白林雪)